

Эффективность проектирования заказных схем в синтезаторе LeonardoSpectrum

Николай Авдеев, Пётр Бибило (г. Минск, Беларусь)

В статье сравнивается эффективность результатов проектирования заказных СБИС в различных версиях синтезатора LeonardoSpectrum. Эффективность определяется уменьшением площади и увеличением быстродействия синтезируемых схем. Сравнение версий проведено на примерах VHDL-описаний проектов цифровых схем. Установлено, что первые версии программы были ориентированы на получение схем меньшей площади, более поздние – на уменьшение задержки; в последних версиях достигается компромисс между этими характеристиками СБИС.

ВВЕДЕНИЕ

После этапа моделирования и верификации проекта цифровой системы (схемы) наступает решающий этап проектирования – синтез логических схем в выбранной целевой технологической

```

Скрипт для выполнения синтеза схемы b2 в эксперименте 1
clean_all
set ПРОЕКТ "b2"
set ENTITY_NAME b2
set VHDL_FILE_NAMES "b2.vhd"
set_working_dir $ПРОЕКТ
# чтение проекта
read -design $ENTITY_NAME \
    $VHDL_FILE_NAMES
# чтение библиотеки power
load_library power.syn
# оптимизация и синтез
optimize -target power -macro \
    -area -effort standard \
    -hierarchy flatten
optimize_timing
report_area -cell_usage
report_delay -num_paths 1 \
    -critical_paths \
    -clock_frequency
# write netlist
write b2_area_standard_sch.vhd ;
    
```

Таблица 1. Примерная эквивалентность версий синтезатора LeonardoSpectrum

Версия	Условное название для эквивалентных версий
2003b.35	L2003
2004a.30	L2006
2005a.82	
2006a.59	
2007a.37	
2008a.5	L2011
2009a.6	
2010a.7	
2011a.4	

библиотеке. Для реализации схемы на программируемых логических интегральных схемах (ПЛИС) применяются различные пакеты программ: XST в системе проектирования ISE (Xilinx), Synplify (Synopsys), LeonardoSpectrum [1] (Mentor Graphics).

Синтезатор LeonardoSpectrum используется, в том числе, и для проектирования заказных СБИС. Пользователь может выполнить синтез в собственной технологической библиотеке, подготовив описания элементов целевой библиотеки, либо осуществлять управление процессом синтеза, выбирать критерии и режимы оптимизации схемы и устанавливать технологические ограничения, например требование к задержке. Программа может работать как в ОС Linux, так и в ОС Windows. На настоящий момент сменилось большое число её версий.

Для пользователей LeonardoSpectrum актуальным является вопрос о том, насколько повышается качество (уменьшается площадь, повышается быстродействие) получаемых логических схем со сменой версий программы. С этой целью в статье проанализирован опыт работы с различными версиями синтезатора LeonardoSpectrum и приведены результаты экспериментов практических примеров.

ПРИМЕРЫ И ЭКСПЕРИМЕНТЫ

Все примеры представлены в виде функциональных либо алгоритмических описаний на языке VHDL. Первую группу составляют функциональные описания комбинационной логики, соответствующие представлениям логических функций в виде систем ДНФ (двухуровневые И/ИЛИ представ-

ления) и в виде многоуровневых представлений в базисе И, ИЛИ, НЕ. Данные примеры взяты из источника [2].

Другую группу примеров составляют алгоритмические описания проектов цифровых систем, взятые из практики проектирования либо из Интернета [3] (примеры dec_8b10b, enc_8b10b). Во всех экспериментах была использована одна и та же библиотека проектирования отечественных КМОП СБИС [4], содержащая 35 элементов типа 2И-НЕ, 3И-НЕ, 2-ИЛИ-НЕ, 3-ИЛИ-НЕ (и других) и три типа триггеров.

Эксперимент 1 проводился с целью выбора критерия оптимизации (*Area, Delay*) и режима трудоёмкости оптимизации (*Optimize effort*), при которых синтез приводил к получению схем, меньших по площади и задержке. Устанавливаемый в программе параметр режима «Optimize effort» может принимать значения *remap, quick, standard* [5].

- Смысл этих значений следующий:
- *remap* выполняет локальную оптимизацию и технологическое отображение в целевую библиотеку;
 - *quick* (режим по умолчанию) выполняет одну итерацию оптимизации на основе быстрых алгоритмов и применяется на начальном этапе проектирования;
 - *standard* выполняет несколько итераций оптимизации и технологического отображения на основе различных методов, при этом получаемые результаты, как правило, лучше, чем в режиме *quick*.

Синтезатором можно управлять как с помощью графического интерфейса, так и с помощью TCL-скриптов. В листинге приведён скрипт (сценарий), используемый при синтезе в эксперименте 1, строка комментариев начинается с символа #. При проведении эксперимента 1 в скрипте вместо параметра *area* команды *optimize* использовался параметр *delay*, а вместо значения *standard* параметра *effort* использовались также значения *remap* либо *quick*.

По результатам сравнения синтезированных проектов схем версии программы LeonardoSpectrum можно условно поделить на три группы – L2003, L2006

и L2011, дающие примерно одинаковые результаты синтеза. Основанием для такого деления являются существенные различия в площади и задержке получаемых логических схем (см. табл. 1).

Результаты первого эксперимента по сравнению трёх базовых версий L2003,

L2006, L2011 приведены в таблице 2, где знаком «*» отмечены лучшие результаты – параметры площади (в условных единицах) и задержки (в наносекундах) отдельно для каждой из версий. Жирным шрифтом выделены лучшие решения совместно по трём верси-

ям синтезатора. В столбце «Критерий оптимизации» приведён критерий *Area* или *Delay*, в столбце «Трудоёмкость оптимизации» указано значение этого параметра, при котором получена схема меньшей площади либо с меньшей задержкой.

Таблица 2. Результаты эксперимента 1

Вид проекта	Название схемы	Критерий оптимизации	Трудоёмкость оптимизации	L2003		L2006		L2011		Сравнение с L2011			
				S	τ	S	τ	S	τ	S _{L2003} /S _{L2011}	τ _{L2003} /τ _{L2011}	S _{L2006} /S _{L2011}	τ _{L2006} /τ _{L2011}
Комбинационная логика	b2	area	standard	*141581	13,38	*211588	11,10	*158801	11,36	0,89	1,18	1,33	0,98
		delay	quick	313892	*9,83	471711	*6,53	313892	*9,83	1,00	1,00	1,57	0,73
	Chkn	area	quick	106667	*7,48	119685	7,28	106667	7,48	1,00	1,00	1,12	0,97
		area	standard	*83934	11,47	*96556	9,98	*92823	*6,70	0,90	1,71	1,04	1,49
	dk48	delay	quick	119747	9,10	132397	*6,53	119747	9,10	1,00	1,00	1,12	0,76
		area	quick	30082	7,44	41510	6,06	*30082	7,44	1,00	1,00	1,38	0,81
		area	standard	*30043	7,54	*41404	6,84	*30082	7,44	1,00	1,01	1,38	0,92
	FRG2	delay	quick	34144	*6,88	45477	*6,01	34144	*6,88	1,00	1,00	1,19	0,98
		delay	standard	33240	7,43	42140	6,80	34144	*6,88	1,00	1,00	1,33	0,87
	I8	area	standard	*168522	7,64	*196689	6,73	*250112	*7,56	0,67	1,01	0,79	0,89
		area	quick	188554	*6,89	255430	*5,02	270809	8,41	1,00	1,00	1,30	0,66
	Ibm	area	quick	159292	7,82	264726	5,81	*159292	*7,82	1,00	1,00	1,66	0,74
		area	standard	*118692	7,32	*160012	5,73	*159292	*7,82	0,75	0,94	1,00	0,73
	in0	delay	standard	126884	*6,72	206187	*4,82	176992	8,71	1,00	1,00	2,06	0,68
		area	quick	42654	5,18	*51498	5,10	*42654	5,18	1,00	1,00	1,21	0,98
	in2	area	standard	*41231	6,61	54126	5,97	*42654	5,18	0,97	1,28	1,27	1,15
		delay	remap	97103	*4,87	122643	*3,88	97103	*4,87	0,97	1,28	1,27	1,15
	prom2	area	remap	219707	*8,09	291081	7,77	219707	*8,09	1,00	1,00	1,32	0,96
		area	standard	*115964	13,27	*147624	12,91	*131509	8,83	0,88	1,50	1,12	1,46
	Tial	delay	remap	260480	8,93	349849	*6,80	260480	8,93	0,88	1,50	1,12	1,46
		area	remap	213005	*7,60	271221	6,60	213005	7,60	1,00	1,00	1,27	0,87
	verg_1	area	standard	*102131	9,36	*113944	9,63	*117448	*6,91	0,87	1,35	0,97	1,39
		delay	quick	172974	8,63	192605	*5,52	172974	8,63	1,00	1,00	1,22	0,79
	verg_2	area	quick	602791	*11,50	*721873	9,70	602791	11,50	1,00	1,00	1,20	0,84
area		standard	*555656	13,31	723386	11,52	*556309	*11,41	1,00	1,17	1,30	1,01	
Belts	delay	quick	688198	11,54	837469	*8,02	688198	11,54	1,00	1,00	1,03	0,73	
	area	quick	323690	*8,37	348125	7,75	323690	8,37	1,00	1,00	1,08	0,93	
dec_8b10b	area	standard	*276456	12,59	*301186	11,41	*303100	*8,01	0,91	1,57	0,99	1,42	
	delay	quick	359185	9,21	372671	*7,00	359185	9,21	1,00	1,00	1,06	0,74	
enc_8b10b	area	standard	*370250	16,83	*520129	13,58	*446880	13,62	0,83	1,24	1,16	1,00	
	delay	quick	980389	*13,59	1334998	*10,83	980389	*13,59	–	–	–	–	
Main	area	quick	972505	*15,56	1276230	13,89	972505	15,56	1,00	1,00	1,31	0,89	
	area	standard	*540981	28,09	*762881	24,35	*658713	*15,02	0,82	1,87	1,16	1,62	
timer2	delay	quick	1048705	16,79	1443490	*12,95	1048705	16,79	–	–	–	–	
	area	quick	4934277	*65,26	34493590	70,44	4934277	65,26	1,00	1,00	6,99	1,08	
Uart	area	standard	*457274	121,35	*12757498	99,71	*4650707	77,45	0,98	1,57	2,74	1,29	
	delay	standard	4885580	76,33	24322121	*66,21	5053415	*59,18	1,00	1,00	69,33	–	
vga80x40	area	quick	55047	5,60	56977	5,28	*55047	5,60	1,00	1,00	1,04	0,94	
	area	standard	*54388	5,77	*56140	5,54	*55047	5,60	0,99	1,03	1,02	0,99	
Watchdog	delay	remap	62468	*4,36	64577	*4,36	62468	*4,36	0,99	1,03	1,02	0,99	
	area	quick	81859	7,76	99486	7,23	*81859	*7,60	1,00	1,02	1,22	0,95	
Watchdog	area	standard	*81016	*7,47	*95937	6,69	*81859	*7,60	0,99	0,98	1,17	0,88	
	delay	standard	85168	7,57	116103	*6,30	85530	8,08	1,00	1,00	1,32	0,85	
Watchdog	area	quick	1047578	44,17	*1524785	40,59	*1052433	*44,28	1,00	1,00	1,45	0,92	
	area	standard	*1017636	*44,00	1695656	40,34	*1052433	*44,28	0,97	0,99	1,61	0,91	
Watchdog	delay	standard	1093786	45,59	6715547	*37,06	1125146	53,11	1,00	0,99	4,73	0,76	
	area	remap	579472	*11,60	–	–	579472	*11,60	1,00	1,00	–	–	
Watchdog	area	quick	*533052	11,91	655672	12,46	*533052	11,91	1,00	1,00	1,23	1,05	
	area	standard	534268	11,96	*611473	12,01	*533052	11,91	1,00	1,00	1,15	1,01	
Watchdog	delay	standard	554462	12,17	755019	*11,01	556454	11,77	1,00	1,00	1,87	1,01	
	area	quick	409656	9,55	477821	9,17	*409656	9,55	1,00	1,00	1,17	0,96	
Watchdog	area	standard	*380456	9,55	*457861	9,08	*409656	9,55	0,93	1,00	1,12	0,95	
	delay	remap	430938	*8,12	3599764	8,51	430938	*8,12	0,93	1,00	1,12	0,95	
Watchdog	delay	quick	420581	8,27	569389	*7,61	420581	8,27	1,00	1,00	8,35	1,05	
	area	quick	*170290	13,82	*171920	13,82	*170290	13,82	1,00	1,00	1,01	1,00	
Watchdog	area	standard	172455	13,82	174989	13,82	*170290	13,82	1,01	1,00	1,03	1,00	
	delay	quick	198737	*12,50	203162	*12,50	198737	*12,50	1,00	1,00	1,04	1,00	
Watchdog	delay	standard	196371	*12,50	201756	*12,50	198737	*12,50	1,00	1,00	1,02	1,00	
	area	quick	*105657	13,06	109496	12,30	105657	13,06	1,00	1,00	1,04	0,94	
Watchdog	area	standard	*105657	13,06	*108732	12,30	*105629	13,15	1,00	0,99	1,03	0,94	
	delay	quick	108804	*10,88	112789	*10,12	108804	*10,88	1,00	1,00	1,04	0,94	
Watchdog	delay	standard	109100	*10,88	112409	*10,12	108760	10,98	1,00	1,00	1,04	0,93	
	Количество лучших решений				19	3	0	21	5	4			

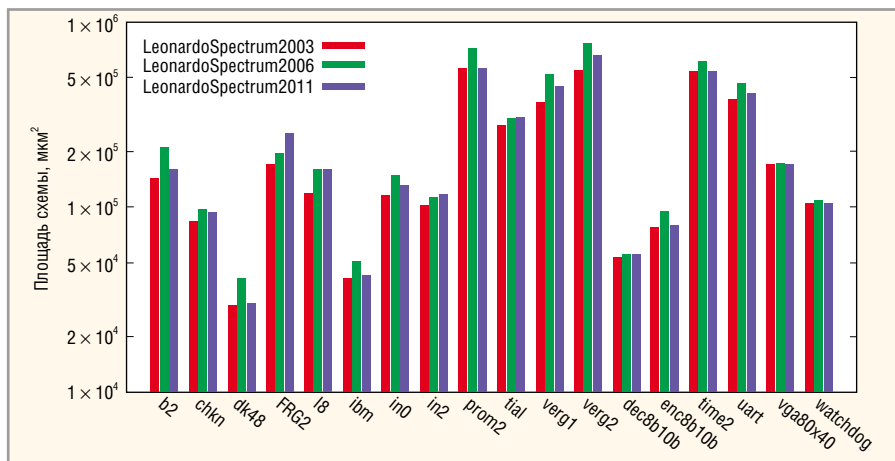


Рис. 1. Сравнение площадей схем, полученных в различных версиях синтезатора LeonardoSpectrum

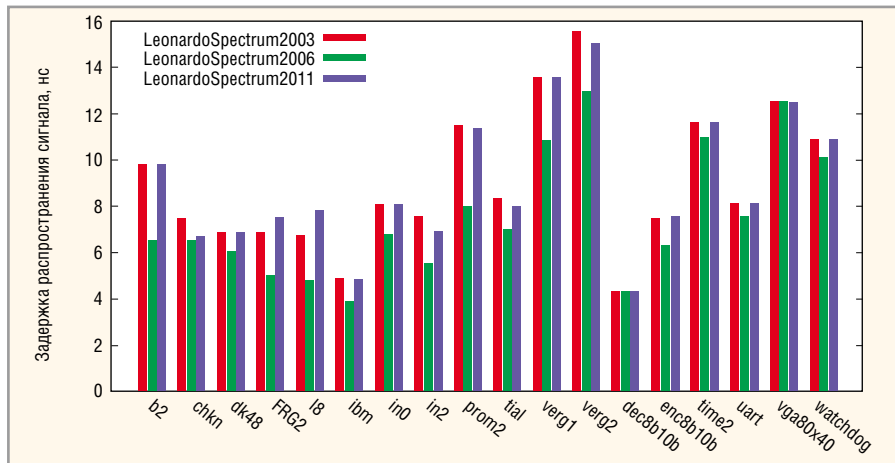


Рис. 2. Сравнение задержек, полученных в различных версиях синтезатора LeonardoSpectrum

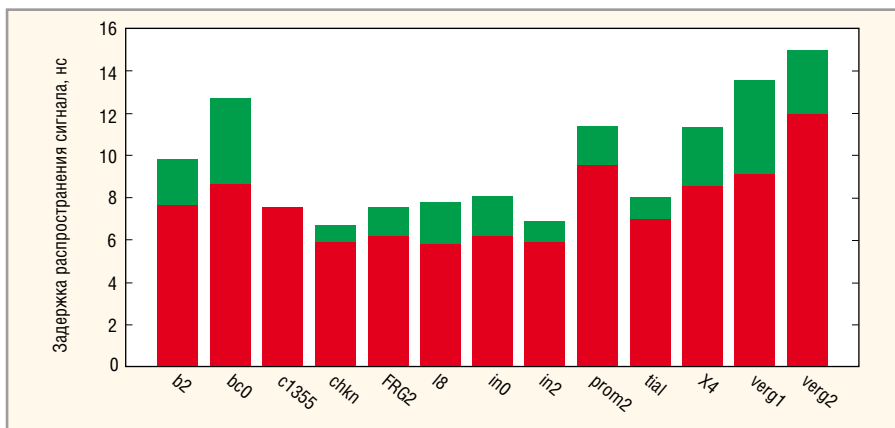


Рис. 3. Диаграмма уменьшения задержек в эксперименте 2, полученных в версии LeonardoSpectrum-2011

Проанализировав таблицу 2, можно сделать следующие выводы. Для версии L2006 выбор критерия оптимизации *Area* приводил к схеме меньшей площади, а выбор критерия *Delay* – к схеме с меньшей задержкой. Например, для первого примера b2 выбор режима *<Area, Standard>* позволил реализовать схему с площадью $S_{L2006} = 211588$ и задержкой $\tau_{L2006} = 11,10$ (см. первую строку таблицы 2). В режиме *<Delay, Quick>* результат уже другой: $S_{L2006} = 471711$ и $\tau_{L2006} = 6,53$ (см. вторую строку таблицы 2). Звёздочкой в первой

и второй строках отмечены меньшие значения площади и задержки. Для этого примера выбор режимов *<Delay, Standard>*, *<Delay, Remap>* и др. приводит к схемам с большей задержкой. Однако лучшее (по площади) решение для примера b2 обеспечила версия L2003, поэтому значение S_{L2003} отмечено звёздочкой и выделено жирным шрифтом для трёх версий. Наименьшее значение задержки для данной схемы обеспечила версия L2006, поэтому значение τ_{L2006} выделено жирным шрифтом для трёх версий.

Для версий программы L2003, L2006 и L2011 критерий оптимизации *Auto* приводил к тем же результатам, что критерий *Area*, поэтому критерий *Auto* далее не упоминается.

Таким образом, версия L2003 позволяет получать схемы наименьшей площади при тех же режимах синтеза, что в версиях L2006 и L2011. Версия L2006 реализует схемы с наименьшей задержкой. Сравнения версий LeonardoSpectrum приведены на диаграммах: площади схем показаны на рисунке 1, задержки – на рисунке 2. Видно, что версия L2011 позволяет получать компромиссные схемы. Если же требуется реализовать схему с меньшей задержкой, то следует воспользоваться версией L2006, понимая при этом, что проигрыш по площади может быть весьма значительным.

Вернёмся к первому примеру b2 (см. табл. 2). Здесь версия L2006 позволяет уменьшить задержку до $\tau_{L2006} = 6,53$ нс и получить площадь $S_{L2006} = 471711$, версия L2011 позволяет уменьшить площадь до $S_{L2011} = 158801$ и получить задержку $\tau_{L2011} = 11,36$ нс.

Эксперимент 2 проводился с целью изучения эффективности повторного синтеза для уменьшения задержки схемы. Для этого в скрипт (см. листинг) перед командой *optimize* добавлена команда *set input2output 7.73*, устанавливающая требуемое значение задержки (т.е. 7,73 нс). Каждый раз оно устанавливалось на 10% меньше достигнутого, и синтез выполнялся снова. Однако на втором либо третьем проходе, как правило, уменьшение задержки не происходило, а увеличивалась площадь схемы.

Пользователь может устанавливать требуемое значение задержки, но программа часто синтезирует схему, задержка которой лишь приближена к желаемому значению. Для примера b2 площадь $S_{L2011} = 313892$, а задержка схемы составляет $\tau_{L2011} = 9,83$ нс. Требование уменьшения задержки до $\tau = 6,16$ нс привело к синтезу схемы с площадью $S_{L2011} = 414399$ и задержкой $\tau_{L2011} = 7,70$ нс. Таким образом, уменьшение задержки схемы на 27% увеличило её площадь на 25%. На рисунке 3 показана диаграмма уменьшения задержек схем в эксперименте 2 для версии L2011 (зелёным цветом отмечено относительное уменьшение задержки).

Таким образом, после последовательного выполнения двух требований уменьшения задержки получаемой схе-

мы на 10%, задержка исходной схемы снижалась примерно на 18%, при этом минимальное уменьшение задержки составляло 2%, а максимальное – 40%.

Следует отметить, что требование получения схемы с малой задержкой при проектировании в целевой библиотеке заказных СБИС часто вообще не может быть выполнено – схемные реализации с требуемыми характеристиками задержек просто не существуют, поэтому никакие ухищрения и варьирование параметров синтеза не помогают.

Эксперимент 3 был посвящён сравнению двух форм представления систем логических функций: дизъюнктивных нормальных форм (ДНФ) и бинарных диаграмм решений (Binary Decision Diagram, BDD) [6]. На потоке из 62 практических примеров было установлено, что наиболее эффективной формой представления систем функций при синтезе схем из библиотечных элементов являются логические уравнения, соответствующие представлениям систем функций в виде BDD.

Диаграммы решений строятся на основе разложения Шеннона. Разложением Шеннона полностью определённой булевой (логической) функции $f(x_1, \dots, x_n)$ по переменной x_i называется представление $f(x_1, \dots, x_n)$ в виде:

$$f(x_1, \dots, x_n) = \bar{x}_i f(x_1, \dots, x_{i-1}, 0, x_{i+1}, \dots, x_n) \vee x_i f(x_1, \dots, x_{i-1}, 1, x_{i+1}, \dots, x_n). \quad (1)$$

Функции $f(x_1, \dots, x_{i-1}, 0, x_{i+1}, \dots, x_n)$ и $f(x_1, \dots, x_{i-1}, 1, x_{i+1}, \dots, x_n)$ в (1) являются коэффициентами разложения, они получаются из функции $f(x_1, \dots, x_n)$ подстановкой вместо переменной x_i константы 0 или 1, соответственно. Диаграмма задаёт в виде графа последовательность разложений Шеннона исходной функции и получаемых коэффициентов разложения. Минимизация сложности BDD основана на том, что в процессе разложения системы функций могут появляться одинаковые коэффициенты разложения не только у одной, но и у нескольких (либо даже у всех) функций, входящих в систему. Выделение одинаковых подфункций (коэффициентов разложения) приводит к сокращению аппаратной сложности и, соответственно, площади схемы. Минимизация BDD осуществлялась с помощью программы TIE_BDD [7].

Приведём пример многоуровневого разложения, соответствующего BDD. Обозначим через $\langle x_1, x_2, x_3, x_4, x_5, x_6 \rangle$ первую из $n!$ перестановок перемен-

ных, по которой проведём разложение Шеннона для системы ДНФ функций:
 $f^1 = x_1 x_2 \bar{x}_4 x_5 \bar{x}_6 \vee \bar{x}_1 x_4 \bar{x}_5 x_6 \vee x_2 \bar{x}_3 x_5;$
 $f^2 = \bar{x}_1 \bar{x}_4 x_5 x_6 \vee \bar{x}_1 \bar{x}_3 x_5 \vee x_1 x_2 x_3 x_5 \bar{x}_6 \vee x_1 \bar{x}_2 x_4 \bar{x}_5 x_6;$
 $f^3 = x_1 \bar{x}_2 \bar{x}_3 x_6 \vee x_1 \bar{x}_2 x_4 x_6 \vee x_1 \bar{x}_3 x_4 x_6 \vee \bar{x}_1 x_2 \bar{x}_4 x_5 \bar{x}_6 \vee x_1 \bar{x}_2 x_5 \vee x_2 \bar{x}_3 x_5.$

Построенные для данной системы функций коэффициенты разложения Шеннона дают следующее многоуровневое представление системы функций:

$$f^1 = \bar{x}_1 \psi^1 \vee x_1 \psi^2; f^2 = \bar{x}_1 \varphi^1 \vee x_1 \psi^3;$$

$$f^3 = \bar{x}_1 \psi^4 \vee x_1 \psi^4;$$

$$\psi^1 = \bar{x}_2 \varphi^1 \vee x_2 \varphi^1; \psi^2 = x_2 \varphi^2; \psi^3 = \bar{x}_2 s^1 \vee x_2 \varphi^3;$$

$$\psi^4 = \bar{x}_2 \varphi^4 \vee x_2 \varphi^5; \varphi^1 = \bar{x}_3 s^2 \vee x_3 s^1;$$

$$\varphi^2 = \bar{x}_3 \lambda^3 \vee x_3 s^3; \varphi^3 = x_3 \lambda^4; \varphi^4 = \bar{x}_3 \lambda^2 \vee x_3 s^2;$$

$$\varphi^5 = \bar{x}_3 s^2; s^1 = x_4 \lambda^1; s^2 = \bar{x}_4 \lambda^3 \vee x_4 \lambda^2; s^3 = \bar{x}_4 \lambda^4;$$

$$\lambda^1 = x_5 \omega^1; \lambda^2 = \bar{x}_5 \omega^1 \vee x_5; \lambda^3 = x_5; \lambda^4 = x_5 \omega^2;$$

$$\omega^1 = x_6; \omega^2 = \bar{x}_6.$$

Основной проблемой при построении многоуровневых представлений меньшей сложности является выбор перестановки переменных, которая приводит к возможно меньшему числу логических выражений приведённого выше вида. В экспериментах программа TIE_BDD строила BDD по 5000 случайно выбираемым перестановкам переменных и выбирала из рассмотренных вариантов диаграммы наименьшей сложности.

Эксперименты на практических примерах [2] комбинационных схем показали, что в подавляющем большинстве случаев (41 пример из 62) использование многоуровневых представлений вместо ДНФ позволяло синтезировать в версии L2011 схемы меньшей площади, чем по исходным описаниям функций, соответствующих ДНФ. Напомним, что при синтезе функциональные описания комбинационных схем в виде ДНФ и в виде разложений Шеннона были представлены на языке VHDL. Некоторая информация об алгоритмах оптимизации, применяемых синтезатором LeonardoSpectrum, содержится в [5, с. 122]. Таким образом, судя по результатам эксперимента 3, комбинационные схемы в библиотечном базисе лучше синтезировать по минимизированным BDD, а не по минимизированным системам ДНФ, представляющим логические функции.

Возможность уменьшения площади комбинационных схем имеется и при повторном синтезе описания, полученного с помощью команды *untar*. Такие эксперименты с повторным синтезом, выполнением команды *untar* и сменой целевых библиотек синтеза описаны в [8]. Стили кодирования (Encoding

Style) не имеют значения для комбинационной логики, однако для схем с триггерами они позволяют варьировать параметры площади и быстродействия. С другими управляющими параметрами синтеза LeonardoSpectrum можно ознакомиться в [1].

Выводы

На испытанном потоке проектов схем наилучшие решения по площади давала версия L2003, по задержке – версия L2006. Новые версии программы L2011 ориентированы на уменьшение площади схем, при этом задержки, естественно, увеличиваются. В версиях L2003 и L2006 установка критерия оптимизации «Delay» приводила к схемам с минимальной задержкой, однако для более поздних версий L2011 установка критерия «Delay» практически не влияла на получение схемы с меньшей задержкой; минимум задержки приходился на другие режимы, в основном, <Area, Standard>.

При общем совершенствовании программы LeonardoSpectrum в старых версиях синтезатора можно реализовать лучшие решения. Поэтому в ответственных случаях целесообразно выполнять синтез как в новых, так и в старых версиях программы, и выбирать лучшие решения по тому или иному критерию.

ЛИТЕРАТУРА

1. Библио П.Н. Системы проектирования интегральных схем на основе языка VHDL. StateCAD, ModelSim, LeonardoSpectrum. СОЛОН-Пресс. 2005.
2. <http://www1.cs.columbia.edu/~cs4861/sis/espresso-examples/ex>.
3. http://opencores.org/project,8b10b_encdec,overview.
4. Библио П.Н., Кириенко Н.А. Оценка энергопотребления логических КМОП-схем по их переключательной активности. Микроэлектроника. № 1, 2012. С. 65–77.
5. LeonardoSpectrum User's Manual, Software Release 2011a. May 2011.
6. Кнут Д.Э. Искусство программирования. Том 4. А. Комбинаторные алгоритмы. Часть 1. ИД Вильямс. 2013.
7. Библио П.Н., Леончик П.В. Алгоритм построения диаграммы двоичного выбора для системы полностью определённых булевых функций. Управляющие системы и машины. № 6. 2009. С. 42–49.
8. Библио П.Н., Романов В.И. Логическое проектирование дискретных устройств с использованием продукционно-фрейм-овой модели представления знаний. Ленанд. 2014.

